### = СОРБПИОННЫЕ И ИОНООБМЕННЫЕ ПРОПЕССЫ =

УДК 544.723:66.074.332:577.112.3

# КОМПОЗИТНЫЕ СОРБЕНТЫ СО2 НА ОСНОВЕ 1-ЭТИЛ-3-МЕТИЛИМИДАЗОЛИЯ ГЛИЦИНАТА: ЗАВИСИМОСТЬ СОРБЦИОННЫХ СВОЙСТВ ОТ ТЕКСТУРЫ НОСИТЕЛЯ И АНАЛИЗ ПОТРЕБЛЕНИЯ ТЕПЛОВОЙ ЭНЕРГИИ

© А. Ж. Шешковас<sup>1</sup>, Ж. В. Веселовская<sup>1</sup>, В. А. Рогов<sup>1,2</sup>, А. С. Шалыгин<sup>1,3</sup>, О. Н. Мартьянов<sup>1</sup>, Д. В. Козлов<sup>1, 2</sup>

<sup>1</sup> Институт катализа им. Г. К. Борескова СО РАН,
 630090, г. Новосибирск, пр. Академика Лаврентьева, д. 5
 <sup>2</sup> Новосибирский государственный университет,
 630090, г. Новосибирск, ул. Пирогова, д. 1
 <sup>3</sup> Институт органической химии им. Н. Д. Зелинского РАН,
 119991, г. Москва, Ленинский пр., д. 47
 E-mail: sheshkovas@catalysis.ru

Поступила в Редакцию 5 августа 2024 г. После доработки 18 ноября 2024 г. Принята к публикации 18 ноября 2024 г.

Проведены исследования сорбции  $CO_2$  композитными сорбентами на основе ионной жидкости 1-этил-3-метилимидазолия глицината, диспергированной в порах мезопористого носителя (силикагеля). Сорбенты готовили методом пропитки носителей спиртовым раствором ионной жидкости, где в качестве носителя использовали набор из четырех коммерческих силикагелей, различающихся параметрами пористой структуры. Показано, что увеличение среднего размера пор силикагеля с 4.7 до 17.4 нм позволяет увеличить эффективность сорбции  $CO_2$  с 96.3 до 131.1 мг( $CO_2$ ) на 1 г ионной жидкости. Изучена стабильность композитных сорбентов в циклических сорбционных экспериментах и в условиях линейного нагрева, показано, что на стабильность сорбционной емкости может существенно влиять температура регенерации образца. Так, снижение температуры регенерации с 373 до 353 К приводит к значительному увеличению стабильности значений сорбционной емкости. Определена теплоемкость 1-этил-3-метилимидазолия глицината (333 Дж·z-1-K-1), теплота сорбции  $CO_2$  композитными материалами (80.1-82.7 кДж·моль-1), а также проведен анализ потребления тепловой энергии на регенерацию композитных материалов в рамках сорбционного цикла [3.5-3.6 кДж·c- $(CO_2)$ -1.

Ключевые слова: улавливание  $CO_2$ ; композитный сорбент; 1-этил-3-метилимидазолия глицинат; силикагель; сорбционная емкость; теплота сорбции; теплоемкость; потребление тепловой энергии DOI: 10.31857/S0044461824060069; EDN: JTIOAP

Тематике улавливания и преобразования  $CO_2$  в последние годы уделяется особое внимание, что связано с растущим количеством антропогенных выбросов  $CO_2$ , который является одним из основных парнико-

вых газов, оказывающих негативное воздействие на экосистемы и климат Земли. Необходимость решения проблемы избыточных выбросов  $CO_2$  в атмосферу признана всем мировым сообществом, и, в частно-

сти, в Российской Федерации стратегия по декарбонизации экономики закреплена на законодательном уровне.\*

На данный момент наибольшего уровня развития достигли технологии улавливания  $CO_2$  водно-аминными растворами [1]. Для применения в крупных промышленных масштабах в основном используют такие органические хемосорбенты  $CO_2$ , как моноэтаноламин, диэтаноламин, а также метилдиэтаноламин. Однако подобные абсорбенты имеют существенные недостатки, к которым относят коррозионную активность жидких аминов, их высокую летучесть, а также высокие энергозатраты на регенерацию абсорбента. Вместо аминов предлагается использовать другие жидкие сорбенты  $CO_2$ , например, ионные жидкости, которые характеризуются низкой летучестью. Наибольший интерес представляют ионные жидко-

сти-хемосорбенты  $CO_2$ , способные поглощать  $CO_2$  посредством химической реакции [2].

Наиболее перспективным считается использование ионных жидкостей-хемосорбентов CO<sub>2</sub>, характеризующихся низкими температурами регенерации материала [3, 4]. Одним из подклассов такого типа соединений являются ионные жидкости с аминокислотными анионами [5, 6]. Взаимодействие таких ионных жидкостей с CO<sub>2</sub> проходит по механизму, предложенному Р. V. Danckwerts, для первичных аминов [7]. На первой стадии (I) аминогруппа в аминокислотном анионе ионной жидкости взаимодействует с CO<sub>2</sub>, образуя производное карбаминовой кислоты АН, а затем это промежуточное соединение реагирует с еще одним анионом с получением дианиона А, являющегося производным карбамата, и аминокислоты в цвиттер-ионной форме (II).

Характерная особенность ионных жидкостей, содержащих аминокислотный анион, — высокая вязкость, затрудняющая диффузию газа через слой жидкости, поскольку, как известно, вязкость среды и коэффициент диффузии — обратно пропорциональные величины. Вязкость ионных жидкостей может кратно увеличиваться в результате поглощения СО<sub>2</sub>, еще больше замедляя диффузию. Так, например, в работе [8] сообщается, что вязкость 1-этил-3-метилимидазолия глицината ([Emim][Gly]) при поглощении СО<sub>2</sub> увеличивалась с 0.0394 до 10.097 Па·с. Одним из

методов улучшения динамики сорбции CO<sub>2</sub> является диспергирование ионной жидкости в порах носителей. Внести ионную жидкость в поры возможно методом пропитки пористого носителя спиртовым раствором ионной жидкости с дальнейшим упариванием растворителя [9].

Композитные сорбенты могут заметно различаться по эффективности сорбции CO<sub>2</sub> в зависимости от того, с какой химической природой и текстурой поверхности выбран носитель, как один из составных компонентов [10, 11]. Однако в литературе не найдены\*\* исследования зависимости эффективности сорбции CO<sub>2</sub> композитными сорбентами на

<sup>\*</sup> Указ Президента РФ от 04.11.2020 № 666 «О сокращении выбросов парниковых газов»; Распоряжение Правительства РФ от 29.10.2021 № 3052-р об утверждении Стратегии социально-экономического развития РФ с низким уровнем выбросов парниковых газов до 2050 г.

<sup>\*\*</sup> Анализ литературных источников проводили с использованием базы данных Google Scholar, поиск проводили по следующим ключевым словам: 1-ethyl-3-

основе ионной жидкости [Emim][Gly] от текстурных характеристик носителя без изменения химического состава его поверхности.

Цель исследования — разработка высокоэффективных композитных сорбентов CO<sub>2</sub> на основе ионной жидкости 1-этил-3-метилимидазолия глицината и пористого силикагеля. В работе были поставлены следующие задачи: 1) синтез композитных сорбентов, в качестве активного компонента которых использовалась ионная жидкость 1-этил-3-метилимидазолия глицинат, а в качестве носителей — ряд силикагелей с различными характеристиками пористой структуры; 2) изучение сорбции CO<sub>2</sub> полученными композитными материалами для определения зависимости эффективности сорбции CO<sub>2</sub> от текстурных характеристик носителя; 3) оценка тепловых энергозатрат на регенерацию полученных композитных сорбентов.

### Экспериментальная часть

Силикагели для хроматографии 40 Å (SiO<sub>2</sub>-1), 60 Å (SiO<sub>2</sub>-2), 90 Å (SiO<sub>2</sub>-3) (Acros Organics, кат. номера АС241670010, 10256770, 10721804), силикагель для хроматографии Davisil 646 grade 150 Å (SiO<sub>2</sub>-4) и ионная жидкость 1-этил-3-метилимидазолия глицинат с чистотой ≥96% ([Emim][Gly]) (Sigma-Aldrich, кат. номера 236845, 727911) были использованы без дополнительной очистки. В качестве растворителя использовали спирт этиловый (95%, AO «Кемеровская фармацевтическая фабрика»), в качестве стандарта для экспериментов по определению теплоемкости ионной жидкости — NaCl (х.ч., ЗАО «Химическая компания Лаверна»), в качестве образца сравнения в сорбционных экспериментах был использован корунд (Sigma-Aldrich, кат. номер ERMFD066), для проведения экспериментов использовались следующие газы: CO<sub>2</sub> (в.ч., ООО «Чистые газы»), Не (Марка A, ООО «Салют»), Ar (в.ч., ООО «Чистые газы»).

На первом этапе синтеза готовили спиртовой раствор [Emim][Gly] с массовым содержанием  $\omega=40$  мас%. Затем полученным раствором пропитывали коммерческие силикагели (фракция 0.25-0.50 мм) из расчета заполнения активным компонентом 50% от объема пор носителя. На последнем этапе пропитанные носители сушили на воздухе при температуре 323 K, а затем при 373 K в потоке He. Синтезированные образцы композитных сорбентов  $CO_2$  с одинаковым значением  $\chi=50\%$  обозначены следующим образом:  $\omega$ [Emim][Gly]\_SiO<sub>2</sub>-n, где  $\omega$  —

methylimidazolium glycinate, [Emim][Gly], support, carbon dioxide, CO<sub>2</sub>.

массовое содержание [Emim][Gly] в композитном сорбенте,  $SiO_2$ -n — силикагель с присвоенным порядковым номером ( $SiO_2$ -1,  $SiO_2$ -2,  $SiO_2$ -3,  $SiO_2$ -4).

Характеристики пористой структуры носителей определяли методом низкотемпературной адсорбции азота с помощью анализатора удельной поверхности Quantachrome NOVA 1200e. Перед измерением образцы дегазировали в вакууме при температуре 373 К. Изотермы адсорбции—десорбции азота регистрировали при температуре 77 К.

ИК-спектры были зарегистрированы с использованием ИК-Фурье-спектрометра (Bruker Vertex 70V) с ртутно-кадмиево-теллуровым одноэлементным охлаждаемым детектором при помощи приставки нарушенного полного внутреннего отражения (Golden Gate, Specac), оснащенной алмазным кристаллом, при температуре  $298-473~\rm K~(\pm 1~\rm K)$ , со спектральным разрешением  $1~\rm cm^{-1}$  и накоплением  $128~\rm ckahob$ , в диапазоне  $4000-500~\rm cm^{-1}$ .

Изучение процесса сорбции CO<sub>2</sub> полученными образцами проводили при помощи термогравиметрического анализатора-калориметра SENSYS TG DSC (Setaram). Навески исследуемого сорбента и образца сравнения (корунд) загружали в алундовые тигли. На первом этапе систему прогревали и выдерживали при 373 К в токе Не для удаления оставшихся количеств этилового спирта и возможных сорбированных газов (CO<sub>2</sub>, H<sub>2</sub>O). Затем образец охлаждали в токе Не до 303 К и проводили сорбцию CO<sub>2</sub> в течение 40 мин в потоке газовой смеси 15% CO<sub>2</sub>/85% Не (в объемном соотношении), при этом были проведены измерения потока выделяемого тепла и массы образца. Погрешность измерения прибором изменения массы в эксперименте составляла 0.1 мас%.

По результатам сорбционного эксперимента определяли величины динамической сорбционной емкости  $[a, \text{мг}(\text{CO}_2)\cdot\text{г}^{-1}]$ , сорбционной эффективности  $[a', \text{мг}(\text{CO}_2)\cdot\text{г}([\text{Emim}][\text{Gly}])^{-1}]$ , а также сорбционной емкости в мольном отношении  $[N, \text{моль}(\text{CO}_2)\times\text{моль}([\text{Emim}][\text{Gly}])^{-1}]$ :

$$a = \frac{\Delta m}{m_0} \cdot 1000,\tag{1}$$

$$a' = \frac{a}{\omega} \cdot 100,\tag{2}$$

$$N = \frac{a/M(\text{CO}_2)}{\omega/M(\text{[Emim][Gly]})} \cdot 0.1,$$
 (3)

где  $\Delta m$  — изменение массы образца на момент окончания стадии сорбции (г),  $m_0$  — масса сухого образца после предварительной обработки в токе Не при 373 К (г),  $\omega$  — массовое содержание ионной

жидкости (мас%),  $M(CO_2)$  — молярная масса  $CO_2$ , M([Emim][Gly]) — молярная масса 1-этил-3-метил-имидазолия глицината.

Интегральную энтальпию сорбции  $CO_2$  [ $\Delta H_{cop6}$ ,  $\kappa Дж·моль(CO_2)^{-1}$ ] рассчитывали из измеренного значения теплоты, выделившейся в ходе сорбционного процесса (O,  $\kappa Дж$ ):

$$\Delta H_{\rm cop6} = -\frac{Q}{\Delta m} \cdot M(\rm CO_2), \tag{4}$$

Знак  $\Delta H$  — отрицательный, поскольку сорбция  $CO_2$  является экзотермическим процессом.

В случае проведения циклических сорбционных экспериментов чередовались стадии сорбции CO<sub>2</sub> при 303 K, регенерации материала при нагреве до 373 K в токе Не и охлаждения сорбента до 303 K. Продолжительности стадий сорбции CO<sub>2</sub> и термической регенерации материала в циклах — по 30 мин.

В целях получения данных для расчета теплоемкости [Emim][Gly]  $C_p$ ([Emim][Gly]) использовали калориметр Pegasus 404C DSC (NETZCH). На держатель с термопарой внутри низкотемпературной печи прибора помещали два алюминиевых тигля: тигель сравнения и тигель с [Emim][Gly]. Систему нагревали от 233 до 343 К и продували потоком Ar (40 мл·мин $^{-1}$ ). Для расчетов  $C_p$ [Emim][Gly] были также проведены измерения в тех же условиях с пустыми тиглями и со стандартом с известным значением теплоемкости (NaCl). Расчет проводили по формуле

$$C_{p}([Emim][Gly]) = \frac{m(NaCl)}{m(EG)} \times \frac{DSC([Emim][Gly]) - DSC(Тигель)}{DSC(NaCl) - DSC(Тигель)} \cdot C_{p}(NaCl),$$
 (5)

где m(NaCl) и m([Emim][Gly]) — навески ионной жидкости [Emim][Gly] и стандарта NaCl, DSC([Emim][Gly]), DSC(Tигель), DSC(NaCl) — электрический сигнал калориметра (мкB·мг $^{-1}$ ) для ионной жидкости [Emim][Gly], пустого тигля и стандарта NaCl соответственно;  $C_p(NaCl)$  — теплоемкость NaCl  $[50.9 \ Дж \cdot r^{-1} \cdot K^{-1}]$ .\*

Для получения данных о термической стабильности композитных материалов, содержащих [Emim][Gly], использовали калориметр Pegasus 404C DSC (NETZCH), дополнительно оснащенный высокотемпературной печью (до 1973 K). На держатель устанавливали два алюминиевых тигля, в один из которых помещали навеску образца. Систему нагревали с 323 до 723 К со скоростью 10 К·мин<sup>-1</sup> с подачей Аг. Анализ данных проводили с использованием программы NETZCH Proteus. Методом дифференциально-сканирующей калориметрии было проведено исследование термической устойчивости композита 40[Emim][Gly]\_SiO<sub>2</sub>-4 в инертной атмосфере (He). Было проведено три измерения с различными условиями предобработки образца: без предварительной обработки, с выдерживанием при температуре 373 К 40 мин и с выдерживанием при температуре 413 К 40 мин.

### Обсуждение результатов

Ранее в работе [12] было показано, что в композитных материалах на основе  $SiO_2$ -4 оптимальным массовым содержанием [Emim][Gly] является 40 мас%, что при пересчете на объем ионной жидкости составляет 50% от общего объема пор носителя. Так как все носители ( $SiO_2$ -1–4) существенно различаются по параметрам пористой структуры, верным решением является сравнение сорбционных характеристик композитных сорбентов на основе данных силикагелей, приготовленных с фиксированным значением объемной доли заполнения пор активным компонентом ( $\chi$ ):

$$\chi = \frac{\omega}{\rho V_{\rm n}(100 - \omega)} \cdot 100\%, \tag{6}$$

где  $\omega$  — массовое содержание [Emim][Gly] в композитном материале (мас%),  $\rho$  — плотность [Emim][Gly] (1.15 г·см<sup>-3</sup>),  $V_{\Pi}$  — объем пор носителя (табл. 1).

По результатам сорбционных экспериментов по уравнениям (1), (3) были рассчитаны значения динамической сорбционной емкости a и энтальпии сорбции  $CO_2 \Delta H_{cop6}$  (табл. 2). Также были измерены значения сорбционной емкости и энтальпии сорбции  $CO_2$  самих силикагелей (табл. 1). Исходя из измеренных значений сорбционной емкости и энтальпии сорбции для композитного сорбента и носителя, можно оценить энтальпию взаимодействия активного компонента и  $CO_2$ :

$$\Delta H_{\text{cop6}}([\text{Emim}][\text{Gly}]) =$$

$$= \frac{\Delta H_{\text{cop6}} a - \Delta H_{\text{cop6}}(\text{SiO}_2) a(\text{SiO}_2) \omega(\text{SiO}_2)}{a - a(\text{SiO}_2) \omega(\text{SiO}_2)},$$
(7)

где  $\Delta H_{\text{сорб}}([\text{Emim}][\text{Gly}])$  — энтальпия сорбции  $\text{CO}_2$  ионной жидкостью [Emim][Gly],  $\Delta H_{\text{сорб}}(\text{SiO}_2)$  и  $a(\text{SiO}_2)$  — энтальпия сорбции  $\text{CO}_2$  и сорбционная емкость соответствующего силикагеля-носителя (табл. 1),  $\omega(\text{SiO}_2)$  — массовое содержание носителя в композитном материале  $[\Gamma \cdot \Gamma(\text{сорбента})^{-1}]$ .

<sup>\*</sup> Краткий справочник физико-химических величин / Под ред. А. А. Равделя, А. М. Понамаревой. СПб: Иван Фёдоров, 2002. С. 79.

Таблица 1

Текстурные и сорбционные характеристики коммерческих силикагелей

			January January		
Носитель, условное обозначение	Удельная поверх- ность, м <sup>2</sup> ·г <sup>-1</sup>	Объем пор, см³-г <sup>-1</sup>	Средний размер пор, нм	Динамическая сорбционная емкость по CO <sub>2</sub> , мг(CO <sub>2</sub> )·г <sup>-1</sup>	Энтальпия сорбции СО2, кДж·моль(СО2)-1
Силикагель для хроматографии, 40 Å (кат. номер AC241670010, Acros Organics), SiO <sub>2</sub> -1	569 ± 28	0.67 ± 0.07	4.7 ± 0.7	$5.45 \pm 0.1$	$41.0 \pm 0.4$
Силикагель для хроматографии, 60 Å (кат. номер 10256770, Acros Organics), SiO <sub>2</sub> -2	<b>464</b> ± 23	$0.79 \pm 0.08$	$6.8 \pm 1.0$	$5.04 \pm 0.1$	$41.5 \pm 0.3$
Силикагель для хроматографии, 90 Å (кат. номер 10721804, Acros Organics), SiO <sub>2</sub> -3	377 ± 19	$0.96 \pm 0.10$	$10.2 \pm 1.5$	<b>4.46</b> ± <b>0.1</b>	$42.3 \pm 0.5$
Силикагель для хроматографии, Davisil 646 grade, 150 Å (кат. номер 236845, Sigma-Aldrich), SiO <sub>2</sub> -4	256 ± 13	1.12 ± 0.11	17.5 ± 2.6	$4.02 \pm 0.1$	55.9 ± 0.7

Таблица 2

Характеристики композитных сорбентов на основе ионной жидкости 1-этил-3-метилимидазолия глицината и силикагелей

Носитель	Массовое содержание 1-этил-3-метилимидазолия глицината ©, мас%	Динамическая сорбционная емкость по $CO_2 a$ , мг $(CO_2)$ ·г $^{-1}$	Энтальпия сорбции СО $_2$ $\Delta H_{ m cop6},$ кДж $\cdot$ моль(СО $_2)^{-1}$	Энтальпия сорбции СО2 1-этил-3-метилимидазолия глицината $\Delta H_{\text{cop6}}([\text{Emim}][\text{Gly}])$ , кДж.моль(СО2) $^{-1}$
Силикагель для хроматографии, 40 Å (кат. номер AC241670010, Acros Organics), SiO <sub>2</sub> -1	28.0 ± 0.2	26.9 ± 0.5	$-80.1 \pm 0.9$	-86.8 ± 2.6
Силикагель для хроматографии, 60 Å (кат. номер 10256770, Acros Organics), $SiO_2$ -2	$32.0 \pm 0.3$	$38.5 \pm 0.8$	$-81.2 \pm 1.0$	$-85.1 \pm 2.5$
Силикагель для хроматографии, 90 Å (кат. номер 10721804, Acros Organics), $SiO_2$ -3	$36.0 \pm 0.3$	44.4 ± 1.0	$-82.5 \pm 1.0$	$-85.3 \pm 2.5$
Силикагель для хроматографии, Davisil 646 grade, 150 Å (кат. номер 236845, Sigma-Aldrich), SiO <sub>2</sub> -4	$40.0 \pm 0.4$	52.6 ± 1.1	$-82.7 \pm 0.9$	$-84.0 \pm 2.4$

Увеличение содержания активного компонента в порах материала приводит к росту динамической сорбционной емкости по  $CO_2$  (табл. 2). Такая зависимость появляется благодаря тому, что при увеличении объема пор носителя в ряду  $SiO_2$ -1—4 не происходит существенного изменения эффективности сорбции  $CO_2$  ионной жидкостью [Emim][Gly], заполняющей 50% объема пор. Значения энтальпии сорбции ( $\Delta H_{\rm cop6}$ ) полученных композитных сорбентов растут при увеличении содержания [Emim][Gly] (табл. 2). Расчетные значения энтальпии сорбции  $CO_2$  ионной жидкостью [Emim][Gly] для всех композитов составляют  $-84.0 \div -86.8$  кДж·моль $^{-1}$  (табл. 2).

При переходе от носителя  $SiO_2$ -1 со средним размером пор 4.7 нм к носителю  $SiO_2$ -2 со средним размером пор 6.8 нм (табл. 1) происходит заметный прирост эффективности сорбции  $CO_2$  a' с 96.3 до  $120.7 \text{ мг}(CO_2) \cdot \text{г}([Emim][Gly])^{-1}$ , при дальнейшем увеличении размера пор носителя наблюдаемый рост эффективности сорбции уже не столь существенный. Согласно механизму реакций (I), (II), в случае полного превращения 1 моль ионной жидкости может прореагировать с 0.5 моль  $CO_2$ . Отметим, что в результате пересчета сорбционной (a) емкости в мольное отношение (N) по уравнению (3) оказалось, что материалу с наименьшей эффективностью сорбции (на основе  $SiO_2$ -1) соответствует отношение (3) моль $(CO_2) \cdot \text{моль}([Emim][Gly])^{-1}(\text{рис. 1})$ , что ука-

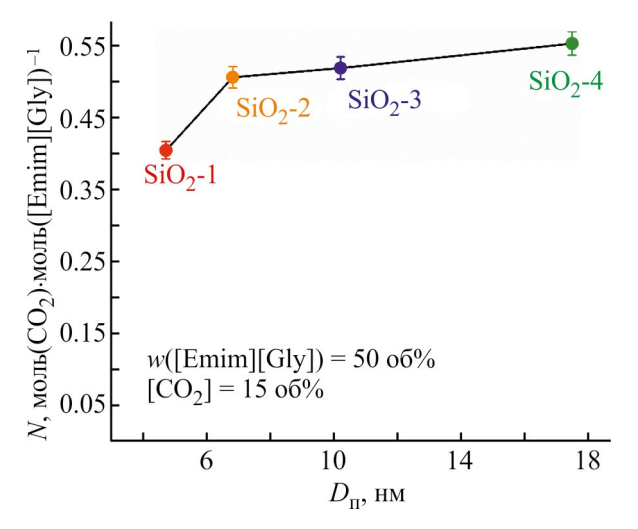


Рис. 1. Зависимость сорбционной емкости в мольном отношении (N) композитными материалами на основе 1-этил-3-метилимидазолия глицината ([Emim][Gly]) и набора коммерчески доступных силикагелей [силикагели для хроматографии 40 Å (SiO<sub>2</sub>-1), 60 Å (SiO<sub>2</sub>-2), 90 Å (SiO<sub>2</sub>-3) (Acros Organics) и Davisil 646 grade 150 Å (SiO<sub>2</sub>-4) (Sigma-Aldrich), кат. номера AC241670010, 10256770, 10721804, 236845] от размера пор носителя ( $D_{\Pi}$ ).

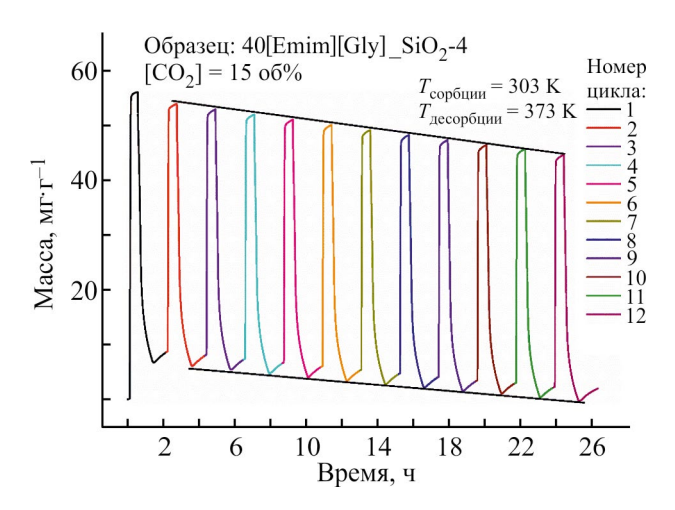


Рис. 2. Динамика изменения массы композитного материала 1-этил-3-метилимидазолия глицинат:силикагель (Davisil 646 grade, 150 Å, Sigma-Aldrich, кат. номер 236845) 40:60 мас./мас. в циклических сорбционных экспериментах.

зывает на неполную конверсию [Emim][Gly] в составе данного материала. Остальные же материалы имеют несущественные различия в сорбционной емкости  $[0.51-0.55 \text{ моль}(CO_2)\cdot\text{моль}([Emim][Gly])^{-1}],$ возможно связанные с увеличением вклада физической абсорбции в объеме ионной жидкости. Эти данные могут указывать на ухудшение динамики сорбции в порах малого размера (4.7 нм), что может быть следствием большего замедления диффузии молекул СО2 через среду вязкой СО2-насыщенной ионной жидкости в ограниченном пространстве поры носителя. Кроме того, причиной снижения эффективности сорбции в порах малого размера может быть ограничение доступности аминогрупп из-за набухания ионной жидкости в процессе поглощения СО<sub>2</sub> [13]. Отметим, что композитный материал 28[Emim][Gly] SiO<sub>2</sub>-1 заметно отличается от других по энтальпии сорбции СО2 ионной жидкостью  $\Delta H_{\text{сорб}}([\text{Emim}][\text{Gly}])$  (табл. 2), что, по-видимому, связано с меньшей эффективностью сорбции СО2 ионной жидкостью в составе композитного сорбента (a').

Образец 40[Emim][Gly]\_SiO<sub>2</sub>-4 был выбран для исследования стабильности материала в условиях циклического эксперимента сорбции—десорбции (рис. 2). В ходе циклического эксперимента с температурой регенерации 373 К снижаются значения как сорбционной емкости образца (табл. 3), так и его массы (рис. 2). Снижение температуры регенерации (десорбции) до 353 К приводит к значительному увеличению стабильности значений сорбционной емкости (табл. 3). Такой эффект может быть связан с разложением или испарением ионной жидкости, но

Таблица 3
Сорбционная емкость (a) композитного материала 1-этил-3-метилимидазолия глицинат:силикагель (Davisil 646
grade, 150 Å, Sigma-Aldrich, кат. номер 236845) 40:60 мас./мас. в циклических сорбционных экспериментах с
температурой сорбции 303 К и температурой регенерации 353 или 373 К

Пополуже	Номер цикла									
Параметр	1	2	3	4	5	6	7	8	9	10
$a$ , мг(CO <sub>2</sub> )·г <sup>-1</sup> ( $T_{per} = 353 \text{ K}$ )	34.9	34.7	34.7	34.6	34.6	34.5	34.5	34.4	34.3	34.3
Снижение $a$ , мас%	100	99.4	99.4	99.1	99.1	98.8	98.8	98.6	98.3	98.3
$a$ , мг(CO <sub>2</sub> )·г <sup>-1</sup> ( $T_{per} = 373 \text{ K}$ )	45.1	44.7	44.5	44.3	44.0	43.7	43.5	43.2	42.9	42.6
Снижение $a$ , мас%	100	99.1	98.7	98.2	97.6	96.9	96.4	95.8	95.1	94.4

более вероятно, что при 373 К происходит испарение  $H_2O$ , изначально присутствующей в составе материала. Растворенная  $H_2O$  позволяет снизить вязкость ионной жидкости, тем самым улучшая динамику сорбции  $CO_2$ . Испарение  $H_2O$  может приводить к повышению вязкости активного компонента и снижению скорости сорбции  $CO_2$ , а значит, и снижению сорбционной емкости материала.

На кривых дифференциально-сканирующей калориметрии (рис. 3) образца 40[Emim][Gly]\_SiO<sub>2</sub>-4 без предварительной обработки с начального момента эксперимента наблюдается выход эндотермического пика, имеющий максимальную скорость при температуре около 389 К. При температуре около 482 К начинается протекание другого эндотермического процесса. После предварительной обработки образца при 373 К площадь первого эндотермического пика снижается, и максимум пика сдвигается в более высоко-

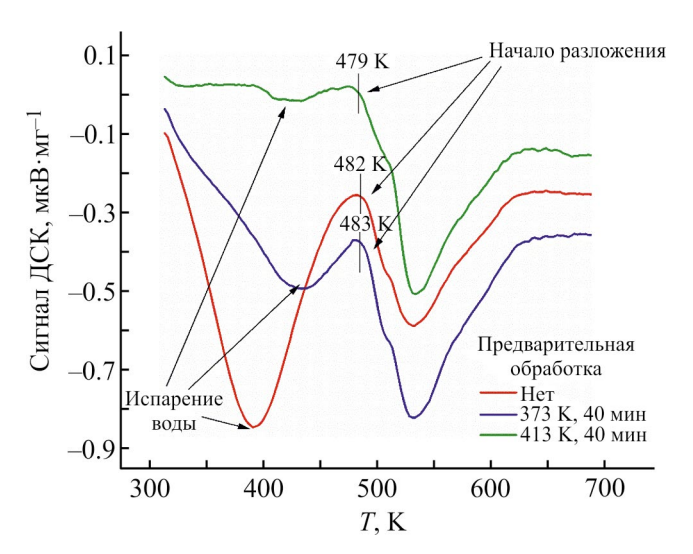


Рис. 3. Кривые дифференциально-сканирующей калориметрии (ДСК) композитного материала 1-этил-3-метилимидазолия глицинат:силикагель (Davisil 646 grade, 150 Å, Sigma-Aldrich, кат. номер 236845) 40:60 мас./мас.

температурную область. После предварительной обработки образца при 413 К первый пик практически полностью исчезает. Данное явление можно связать с испарением Н<sub>2</sub>О и десорбцией СО<sub>2</sub>, поглощенного из воздуха, что может подтверждать высказанное ранее предположение о причинах снижения массы сорбента в циклических экспериментах. Второй эндотермический пик, который сохраняется во всех случаях, по-видимому, обусловлен термическим разложением ионной жидкости, что согласуется с результатами работы [14], где методом термогравиметрического анализа показали, что началу разложения чистой ионной жидкости [Emim][Gly] соответствует температура 475 K, а пику — 499 K. В данном случае проводилось исследование нанесенной [Emim][Gly], что привело к небольшому смещению пика относительно данных, приведенных в литературе.

Удаление Н<sub>2</sub>О из ионной жидкости при нагреве композитных сорбентов в среде инертного газа до 373 К является медленным процессом, который не может быть в полной мере завершен за время, отведенное на стадию сушки материала. С использованием образца 40[Emim][Gly] SiO<sub>2</sub>-4 был проведен дополнительный сорбционный эксперимент с температурой предварительной сушки 413 К. При нагреве до 373 К во время сушки образец композитного сорбента потерял около 11% от исходной массы, а при нагреве до 413 К снижение массы составило 14 мас%. Разница между этими значениями скорее всего определяет количество воды, оставшееся в образце после сушки при 373 К (3 мас%). Отметим, что после сушки образца при 413 К было получено более низкое значение сорбционной емкости [49.4 мг( $CO_2$ )·г<sup>-1</sup>] по сравнению с тем же образцом, высушенным при 373 К, что подтверждает наше предположение о том, что остаточные количества Н<sub>2</sub>О способствуют увеличению сорбционной емкости материала.

В области 3600-2800 см<sup>-1</sup> ИК-спектров [Emim][Gly] (рис. 4) наблюдается широкое гало, со-

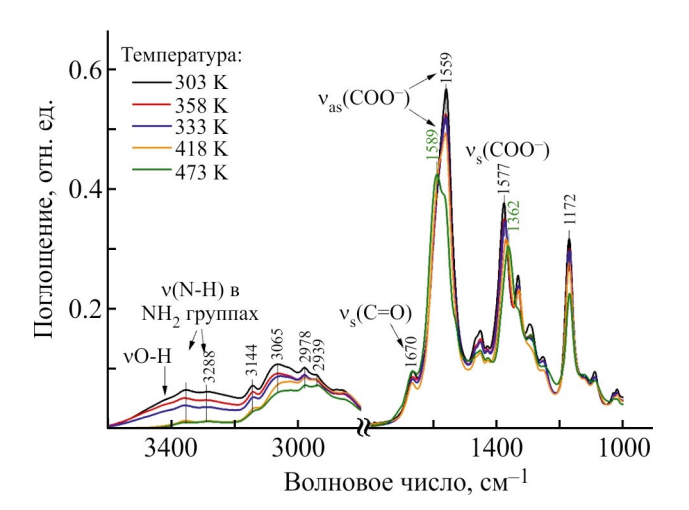


Рис. 4. ИК-спектры ионной жидкости 1-этил-3-метилимидазолия глицината при ступенчатом нагреве до 473 К.

ответствующее колебаниям О—Н-связи в Н2О (3600-3200 см<sup>-1</sup>), на спектрах также присутствуют полосы валентных колебаний связей N—Н в NH2-группах (при 3354 и 3288 см<sup>-1</sup>). В области 1800–1000 см<sup>-1</sup> самые интенсивные полосы соответствуют асимметричным и симметричным колебаниям СОО--группы аниона (при 1559 и 1377 cм<sup>-1</sup> соответственно) и деформационным колебаниям имидазолиевого кольца катиона (при 1172 см<sup>-1</sup>). При нагревании [Emim][Gly] интенсивность полосы колебаний аминогрупп практически не меняется, а интенсивность широкой полосы, соответствующей колебаниям О—Н-связи в Н2О  $(3600-3200 \text{ см}^{-1})$ , снижается при нагреве вплоть до 418 К, а затем существенных изменений в этой области уже не происходит, что свидетельствует о полном удалении абсорбированной Н<sub>2</sub>О. Отметим, что спектры ионной жидкости, записанные при температурах 358 и 373 К, практически совпадают в области 1800- $1000 \text{ см}^{-1}$ , но на них наблюдаются различия в области  $3600-3200 \text{ см}^{-1}$ . Это свидетельствует о том, что в этом температурном диапазоне происходит испарение абсорбированной H<sub>2</sub>O, а структура [Emim][Gly] сохраняется. Таким образом, наиболее вероятно, что наблюдаемые эффекты потери массы и снижения сорбционной емкости образца в сорбционных циклах с температурой регенерации 373 К (рис. 2, табл. 3) связаны с испарением Н<sub>2</sub>О, присутствующей в составе материала. Отметим, что при нагреве [Emim][Gly] до 473 К спектр заметно видоизменяется: в частности, появляется полоса 1589 см<sup>-1</sup>, сдвигается полоса симметричных колебаний  $COO^{-}(1377 \rightarrow 1362 \text{ cm}^{-1})$ , снижается интенсивность полос валентных колебаний СН алкильных групп катиона (2978 и 2939 см-1), а также валентных и деформационных колебаний имидазолиевого кольца (3065 и 1172 см<sup>-1</sup>). Скорее всего при 473 К начинается термическое разложение ионной жидкости, что согласуется с результатами работы [14].

Одним из важных показателей для оценки перспектив использования сорбента для задач улавливания  $CO_2$  является потребление тепловой энергии на регенерацию материала ( $Q_{per}$ ).  $Q_{per}$  материала 40[Emim][Gly] SiO<sub>2</sub>-4 можно оценить по формуле

$$Q_{per} = \Delta H_{per} + \frac{0.4C_{p}([Emim][Gly]) + 0.6C_{p}(SiO_{2})}{a} \times (8)$$

$$\times (T_{per} - T_{cop6}),$$

где  $\Delta H_{\rm дес} = -\Delta H_{\rm cop6}$  — энтальпия десорбции  ${\rm CO_2}$ ,  $C_{\rm p}({\rm [Emim][Gly]})$  и  $C_{\rm p}({\rm SiO_2})$  — теплоемкости  ${\rm [Emim][Gly]}$  и  ${\rm SiO_2}$  соответственно, a — средняя динамическая сорбционная емкость материала в адсорбционном цикле с заданными значениями температуры сорбции и регенерации ( $T_{\rm cop6}$  и  $T_{\rm per}$  соответственно).

Значение  $C_p([Emim][Gly])$  было определено экспериментально методом дифференциально-сканирующей калориметрии. Согласно расчету по уравнению (5), теплоемкость чистой [Emim][Gly] составляет 333 Дж·г<sup>-1</sup>·K<sup>-1</sup> при 303 K, что сравнимо с теплоемкостью, рассчитанной для данной ионной жидкости методом математического моделирования в работе [15] (390 Дж·г<sup>-1</sup>·K<sup>-1</sup>). В табл. 4 представлены исходные данные, необходимые для расчета энергозатрат на регенерацию сорбента 40 $[Emim][Gly]_SiO_2$ -4 ( $Q_{per}$ ).

Полученные величины  $Q_{\mathsf{per}}$ материала 40[Emim][Gly] SiO<sub>2</sub>-4, равные 3.5-3.6 кДж г(CO<sub>2</sub>)-1, оказались ниже, чем затраты энергии на регенерацию стандартных аминовых растворов, например растворов моноэтаноламина (4.2 кДж·моль-1) [16]. Данные значения тепловых энергозатрат рассчитаны исходя только из термохимических и сорбционных характеристик материалов, при этом правильная организация сорбционного цикла на предприятии может значительно снизить энергетические затраты на регенерацию материала за счет рекуперации тепла. Например, авторам [17] удалось добиться снижения энергозатрат на регенерацию сорбента 30% моноэтаноламин/70% H<sub>2</sub>O до 2.2 кДж·г(CO<sub>2</sub>)-1. Таким образом, можно полагать, что при повышении эффективности технологической организации процесса значения  $Q_{\text{per}}$  необходимые на регенерацию исследуемого композитного сорбента, могут оказаться еще ниже. С этой точки зрения полученный материал может быть потенциально рассмотрен для практического применения в процессах улавливания СО2

1 аолица 4
Исходные данные для расчета тепловых затрат на регенерацию композитного материала
1-этил-3-метилимидазолия глицинат:силикагель (Davisil 646 grade, 150 Å, Sigma-Aldrich, кат. номер 236845)
40:60 mac./mac.

Температура сорбции, К	Температура регенерации, К	Энтальпия десорбции CO <sub>2</sub> , кДж·г(CO <sub>2</sub> )-1	Теплоемкость 1-этил-3-метилимидазолия глицината, к $Дж \cdot r^{-1} \cdot K^{-1}$	Теплоемкость SiO <sub>2</sub> , кДж·г <sup>-1</sup> ·K <sup>-1</sup>	Динамическая сорбционная емкость сорбента, $\Gamma(CO_2)\cdot\Gamma^{-1}$	Энергозатраты на регенерацию сорбента, кДж-г(CO <sub>2</sub> )-1	
303	373 353	1.9	1.8	0.72* {	0.045 0.034	3.6 3.5	

<sup>\*</sup> Properties: Silica — Silicon Dioxide (SiO<sub>2</sub>). https://www.azom.com/properties.aspx?ArticleID=1114

с использованием низкотемпературных источников тепловой энергии для регенерации сорбента.

### Выводы

Разработаны высокоэффективные композитные сорбенты  $CO_2$  на основе 1-этил-3-метилимидазолия глицината и силикагелей с различными характеристиками пористой структуры. Полученные материалы могут быть применены в процессах улавливания  $CO_2$  из газовых смесей, в том числе с использованием низкотемпературного источника тепловой энергии для регенерации сорбента.

### Благодарности

Работа выполнена при поддержке Министерства науки и высшего образования Российской Федерации в рамках государственного задания Института катализа СО РАН (проект FWUR-2024-0036).

### Конфликт интересов

Авторы заявляют об отсутствии конфликта интересов, требующего раскрытия в данной статье.

### Информация о вкладе авторов

А. Ж. Шешковас — автор концепции статьи, занимался синтезом композитных материалов, измерениями теплоемкости и термостабильности образцов, интерпретацией полученных данных, анализом литературных данных; Ж. В. Веселовская — общее планирование исследования, принимала участие в анализе литературных и экспериментальных данных; В. А. Рогов — проведение сорбционных экспериментов; А. С. Шалыгин — проведение ИК-спектрометрического анализа ионной жидкости; О. Н. Мартьянов — разработка методологии ИК-спектрометрического

анализа *in situ* в режиме нарушенного полного внутреннего отражения для многокомпонентных систем; Д. В. Козлов — проведение расчета тепловых затрат на регенерацию композитного сорбента.

## Информация об авторах

Шешковас Андрей Жидрунович

ORCID: https://orcid.org/0009-0005-9822-6749 Веселовская Жанна Вячеславовна, к.х.н.

ORCID: https://orcid.org/0000-0003-1606-3746 Рогов Владимир Алексеевич, к.х.н.

ORCID: https://orcid.org/0009-0009-3269-969X Шалыгин Антон Сергеевич, к.х.н.

ORCID: https://orcid.org/0000-0002-7414-4256 *Мартьянов Олег Николаевич*, д.х.н.

ORCID: https://orcid.org/0000-0001-9999-8680 Козлов Денис Владимирович, д.х.н.

ORCID: https://orcid.org/0000-0002-4107-8694

# Список литературы

- [1] Meng F., Meng Y., Ju T., Han S., Lin L., Jiang J. Research progress of aqueous amine solution for CO<sub>2</sub> capture: A review // RSER. 2022. V. 168. ID 112902. https://doi.org/10.1016/j.rser.2022.112902
- [2] Wang J., Huang L., Yang R., Zhang Z., Wu J., Gao Y., Wang Q., O'Hare D., Zhong Z. Recent advances in solid sorbents for CO<sub>2</sub> capture and new development trends // Energy Environ. Sci. 2014. V. 7. N 11. P. 3478–3518. https://doi.org/10.1039/C4EE01647E
- [3] Lombardo L., Ko Y., Zhao K., Yang H., Züttel A. Direct CO<sub>2</sub> capture and reduction to high-end chemicals with tetraalkylammonium borohydrides // Angew. Chem. Int. Ed. 2021. V. 60. N 17. P. 9580–9589. https://doi.org/10.1002/anie.202100447
- [4] Knuutila H. K., Rennemo R., Ciftja A. F. New solvent blends for post-combustion CO<sub>2</sub> capture // GEE. 2019. V. 4. N 4. P. 439–452. https://doi.org/10.1016/j.gee.2019.01.007

[5] Yang Q., Wang Z., Bao Z., Zhang Z., Yang Y., Ren Q., Xin H., Dai S. New insights into CO<sub>2</sub> absorption mechanisms with amino-acid ionic liquids // ChemSusChem. 2016. V. 9. N 8. P. 806–812. https://doi.org/10.1002/cssc.201501691

- [6] Gurkan B. E., de la Fuente J. C., Mindrup E. M., Ficke L. E., Goodrich B. F., Price E. A., Schneider W. F., Brennecke J. F. Equimolar CO<sub>2</sub> absorption by anion-functionalized ionic liquids // J. Am. Chem. Soc. 2010. V. 132. N 7. P. 2116–2117. https://doi.org/10.1021/ja909305t
- [7] Danckwerts P. V. The reaction of CO<sub>2</sub> with ethanolamines // Chem. Eng. Sci. 1979. V. 34. N 4. P. 443–446. https://doi.org/10.1016/0009-2509(79)85087-3
- [8] Chen F. F., Huang K., Fan J. P., Tao D. J. Chemical solvent in chemical solvent: A class of hybrid materials for effective capture of CO<sub>2</sub> // AIChE J. 2018. V. 64. N 2. P. 632–639. https://doi.org/10.1002/aic.15952
- [9] Шешковас А. Ж., Веселовская Ж. В., Селищев Д. С., Козлов Д. В. Низкотемпературные композитные сорбенты CO<sub>2</sub> на основе аминосодержащих соединений (обзор) // ЖПХ. 2023. Т. 96. № 3. С. 226—244. https://doi.org/10.31857/S0044461823030015 [Sheshkovas A. Zh., Veselovskaya J. V., Selishchev D. S., Kozlov D. V. Low-temperature composite CO<sub>2</sub> sorbents based on amine-containing compounds // Russ. J. Appl. Chem. 2023. V. 96. N 3. P. 257—274. https://doi.org/10.1134/S1070427223030011].
- [10] *Uehara Y., Karami D., Mahinpey N.* Roles of cation and anion of amino acid anion-functionalized ionic liquids immobilized into a porous support for CO<sub>2</sub> // Energy & Fuels. 2018. V. 32. N 4. P. 5345–5354. https://doi.org/10.1021/acs.energyfuels.8b00190

- [11] Balsamo M., Erto A., Lancia A., Totarella G., Montagnaro F., Turco R. Post-combustion CO<sub>2</sub> capture: On the potentiality of amino acid ionic liquid as modifying agent of mesoporous solids // Fuel. 2018. V. 218. P. 155–161. https://doi.org/10.1016/j.fuel.2018.01.038
- [12] Sheshkovas A. Z., Veselovskaya J. V., Rogov V. A., Kozlov D. V. Thermochemical study of CO<sub>2</sub> capture by mesoporous silica gel loaded with the amino acid ionic liquid 1-ethyl-3-methylimidazolium glycinate // Micropor. Mesopor. Mater. 2022. V. 341. ID 112113. https://doi.org/10.1016/j.micromeso.2022.112113
- [13] Wang J., Petit C., Zhang X., Park A. H. A. Simultaneous measurement of CO<sub>2</sub> sorption and swelling of phosphate-based ionic liquid: Special Issue: CO<sub>2</sub> capture // Green Energy Environ. 2016. V. 1. N 3. P. 258–265. https://doi.org/10.1016/j.gee.2016.11.004
- [14] Muhammad N., Man Z. B., Bustam M. A., Mutalib M. A., Wilfred C. D., Rafiq S. Synthesis and thermophysical properties of low viscosity amino acid-based ionic liquids // J. Chem. Eng. Data. 2011. V. 56. N 7. P. 3157–3162. https://doi.org/10.1021/je2002368
- [15] Liu X., Zhou G., Zhang S., Wu G. Molecular simulation of imidazolium amino acid-based ionic liquids // Mol. Simul. 2010. V. 36. N 14. P. 1123–1130. https://doi.org/10.1080/08927022.2010.497923
- [16] Wappel D., Gronald G., Kalb R., Draxler J. Ionic liquids for post-combustion CO<sub>2</sub> absorption // Int. J. Greenhouse Gas Control. 2010. V. 4. N 3. P. 486–494. https://doi.org/10.1016/j.ijggc.2009.11.012
- [17] *Just P. E.* Advances in the development of CO<sub>2</sub> capture solvents // Energy Procedia. 2013. V. 37. P. 314–324. https://doi.org/10.1016/j.egypro.2013.05.117